

太陽系の年代学

創世期年表 (坂本, 2000)

表1 太陽系創世期の天体進化年表

年代Ma	4570	4560	4550	4500	4470			
時 代	分子雲	粒子	微惑星	原始惑星	惑 星			
事件	分子雲 形成 開始	分子 雲 吸 縮 形 成	C 子 A ド リ ン ト リ ー	微 惑 星 星 形 成	原 始 惑 星 形 成	火 星 ・ 地 球 形 成	地 球 に 巨 大 衝 突	太 陽 が 主 系 列 星
短寿命 核種 による 年代差	Ca-K [12]		~1 my					
	Al-Mg [13, 15]		~2 my					
	H-W [16, 18, 19]			~5 my				
	I-Pu-Rb [21, 25]			5-15 my		10-30 my		50-60 my
								50-70 my
絶対年代	Pb-Pb		~10 my					
		CA固化年代 (4566±1 Ma [8])						
		最古のコンドライト変成年代 (4562.7±0.4 Ma [8])						
		最古のエイコンドライト固化年代 (4557.8±0.4 Ma [4])						

記号Ma(=100万年前, myは100万年間, Pb-Pb等は年代測定法を示す, []内の数字は年代出典元の文献番号に対応.)

放射性同位元素

- 長壽命核種

^{147}Sm — ^{143}Nd ($1.06 \times 10^{11}\text{y}$)

^{187}Re — ^{187}Os ($\sim 5 \times 10^{10}\text{y}$)

^{87}Rb — ^{87}Sr ($4.99 \times 10^{10}\text{y}$)

^{232}Th — ^{208}Pb ($1.40 \times 10^{10}\text{y}$)

^{238}U — ^{206}Pb ($4.47 \times 10^9\text{y}$)

^{235}U — ^{207}Pb ($7.04 \times 10^8\text{y}$)

^{40}K — ^{40}Ar ($1.25 \times 10^9\text{y}$)

- 短壽命核種

^{244}Pu — ^{136}Xe ($8.2 \times 10^7\text{y}$)

^{129}I — ^{129}Xe ($1.57 \times 10^7\text{y}$)

^{182}Hf — ^{182}W ($9 \times 10^6\text{y}$)

^{107}Pd — ^{107}Ag ($6.5 \times 10^6\text{y}$)

^{53}Mn — ^{53}Cr ($3.7 \times 10^6\text{y}$)

^{60}Fe — ^{60}Ni ($1.5 \times 10^6\text{y}$)

^{10}Be — ^{10}B ($1.5 \times 10^6\text{y}$)

^{26}Al — ^{26}Mg ($7.2 \times 10^5\text{y}$)

^{41}Ca — ^{41}K ($1.03 \times 10^5\text{y}$)

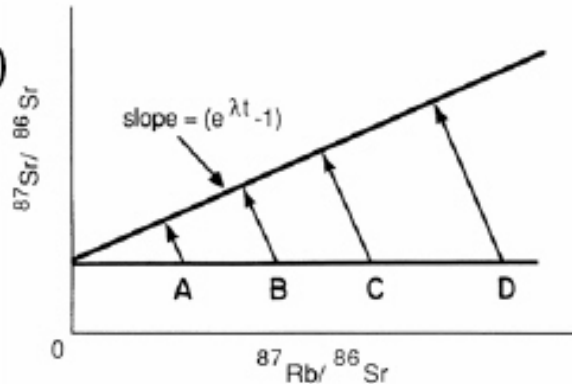
放射壞變

$$N_t = N_0 e^{-\lambda t}$$

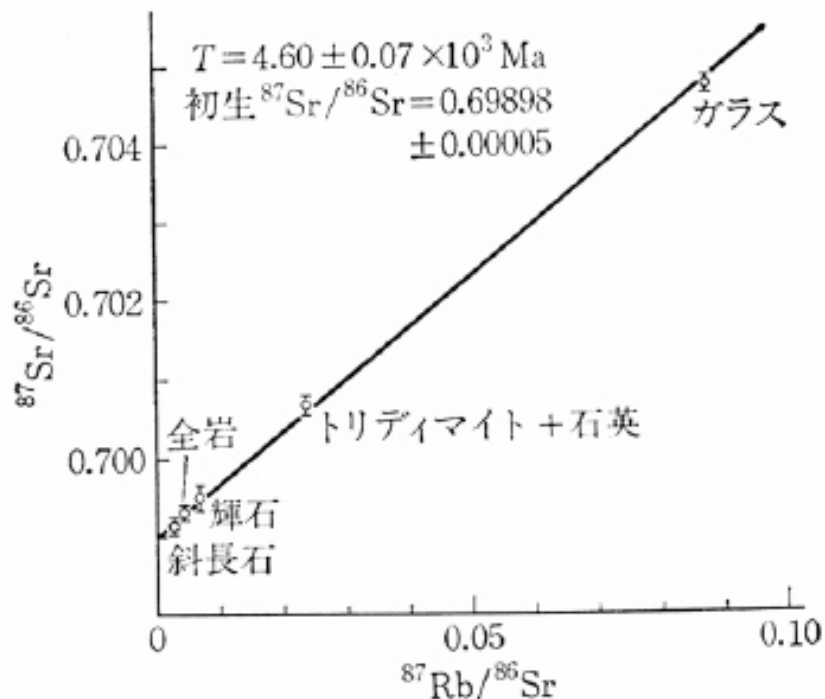
$$N_d^r = N_0 - N_t = N_0 (1 - e^{-\lambda t}) = N_t (e^{\lambda t} - 1)$$

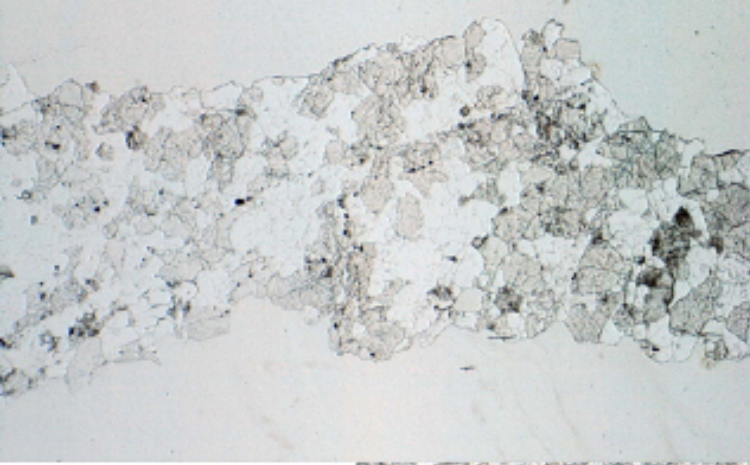
$$N_d^r = N_d - N_d^0 = N_t (e^{\lambda t} - 1)$$

$$\frac{N_d^r}{N_d^s} = \frac{N_d}{N_d^s} - \frac{N_d^0}{N_d^s} = \frac{N_t}{N_d^s} (e^{\lambda t} - 1)$$

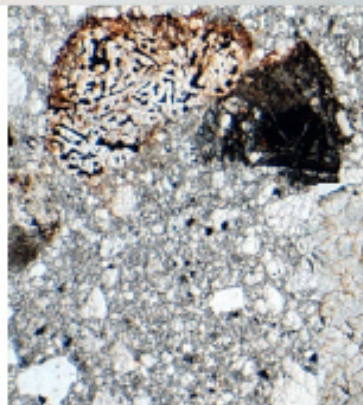


Rb-Sr isochron of Juvinas eucrite (Allégre et al., 1975)





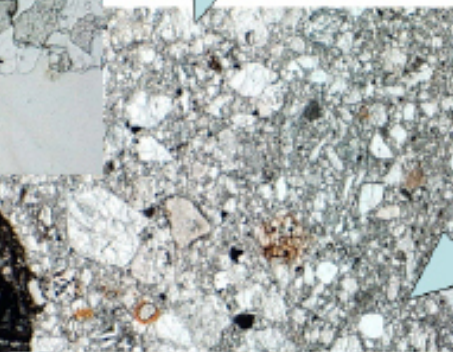
Eucrite



Howardite
= eucrite + Diogenite



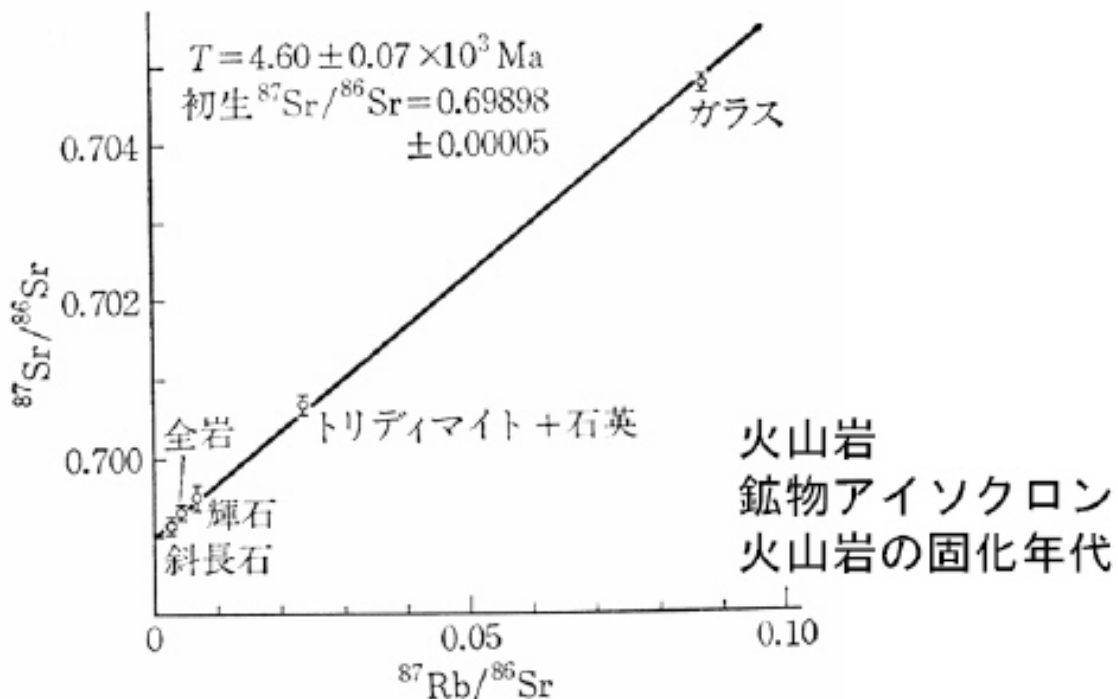
HED



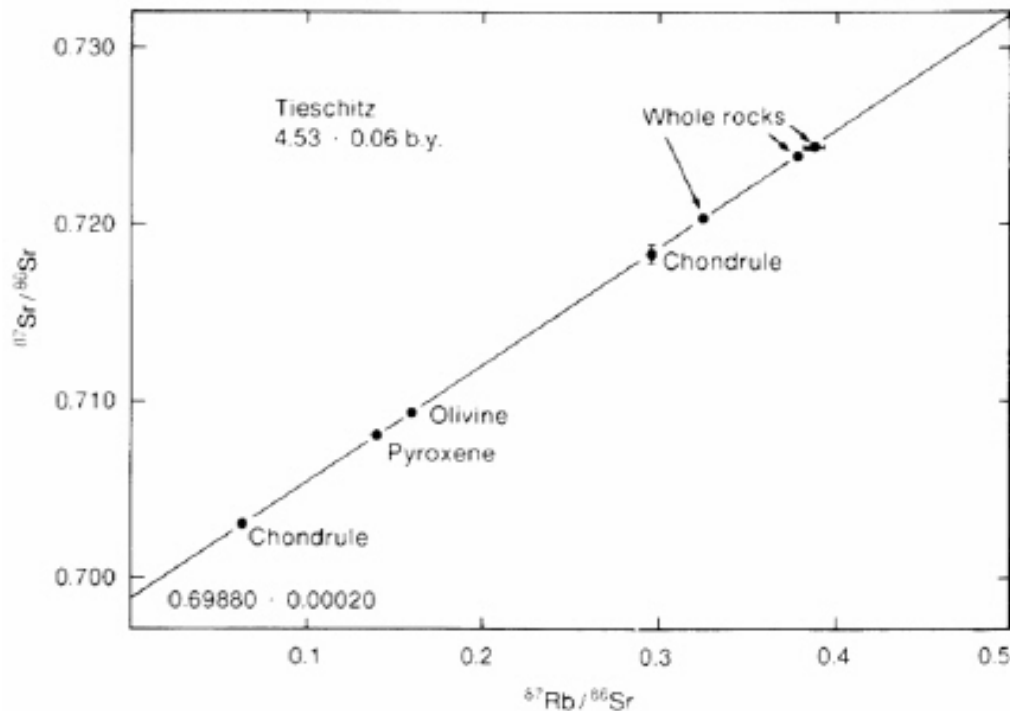
Diogenite



Rb-Sr isochron of Juvinas eucrite (Allégre et al., 1975)



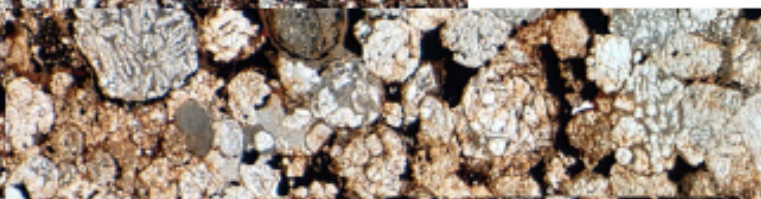
Rb-Sr isochron for chondrules from Tieschitz H3 (Minster et al., 1979)



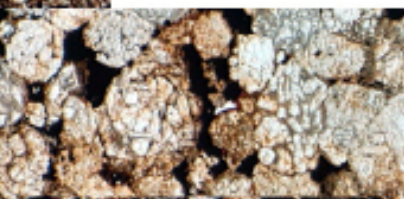


O chondrites

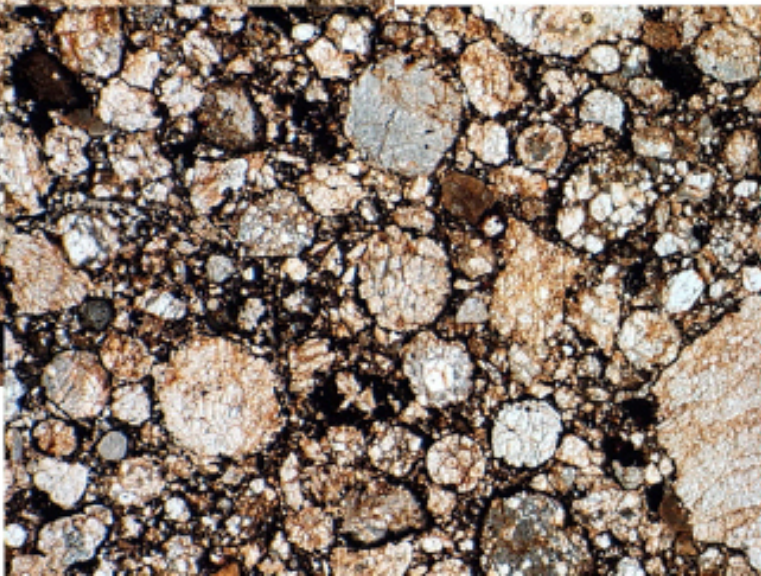
H



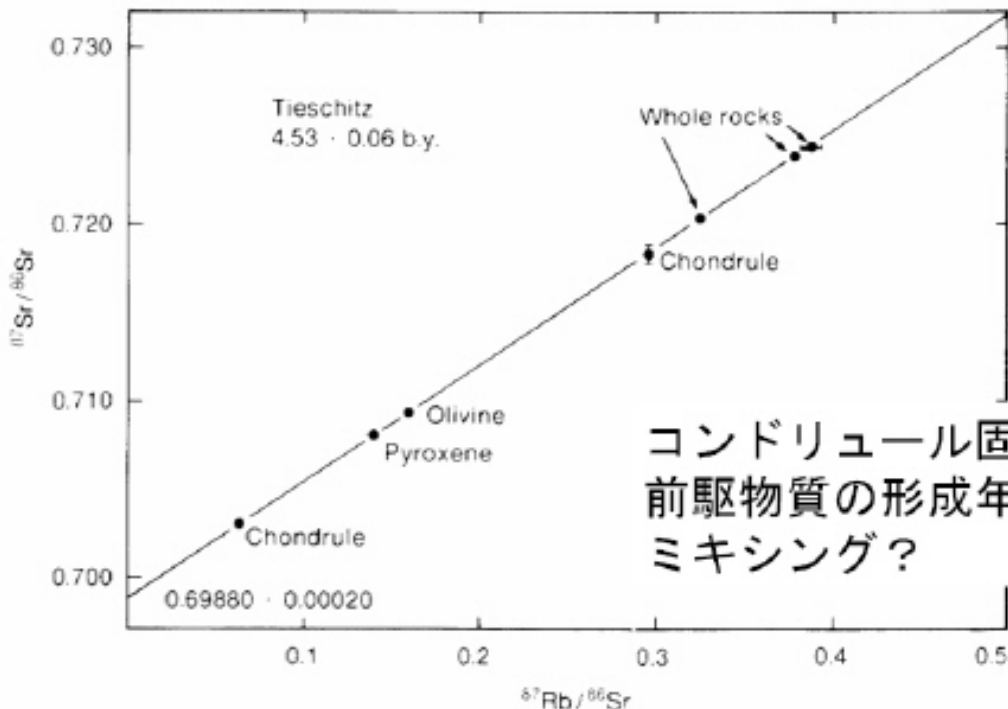
L



LL

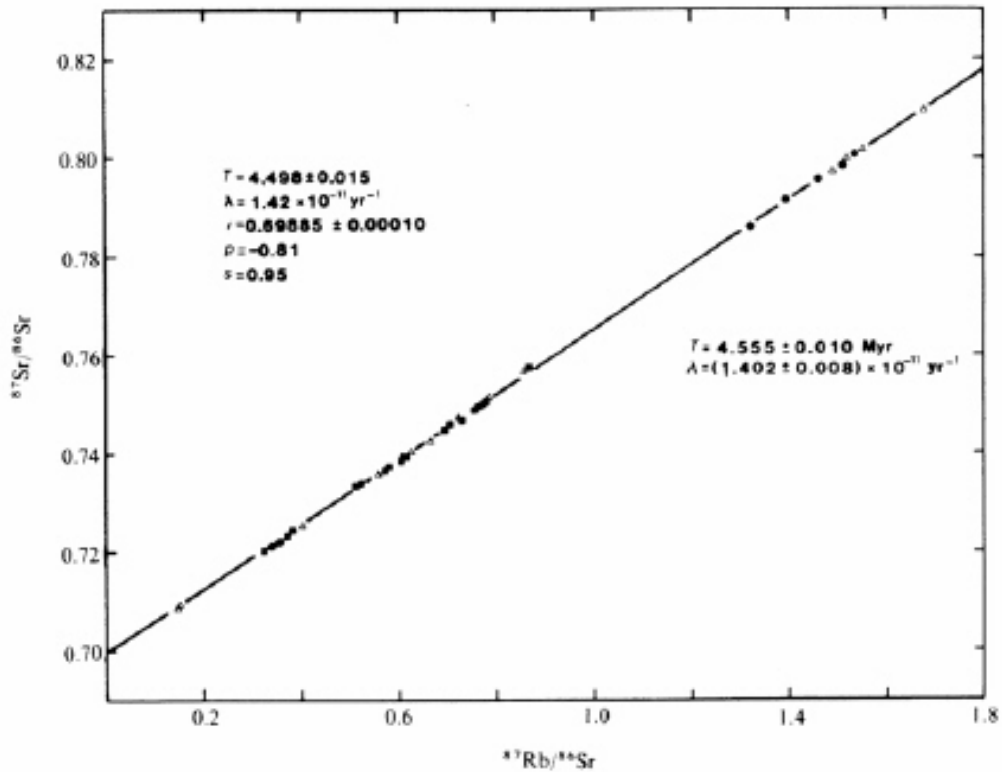


Rb-Sr isochron for chondrules from Tieschitz H3 (Minster et al., 1979)

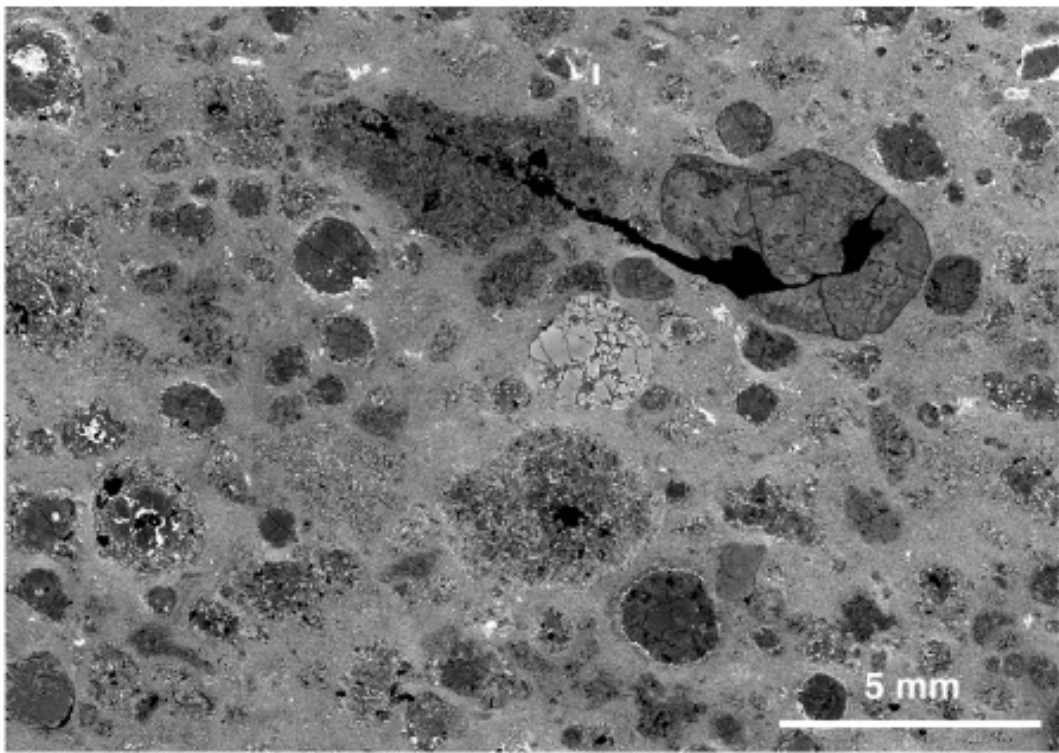


Rb-Sr isochron for chondrites

(■: H, △: LL, ●: E; Minster et al., 1982)

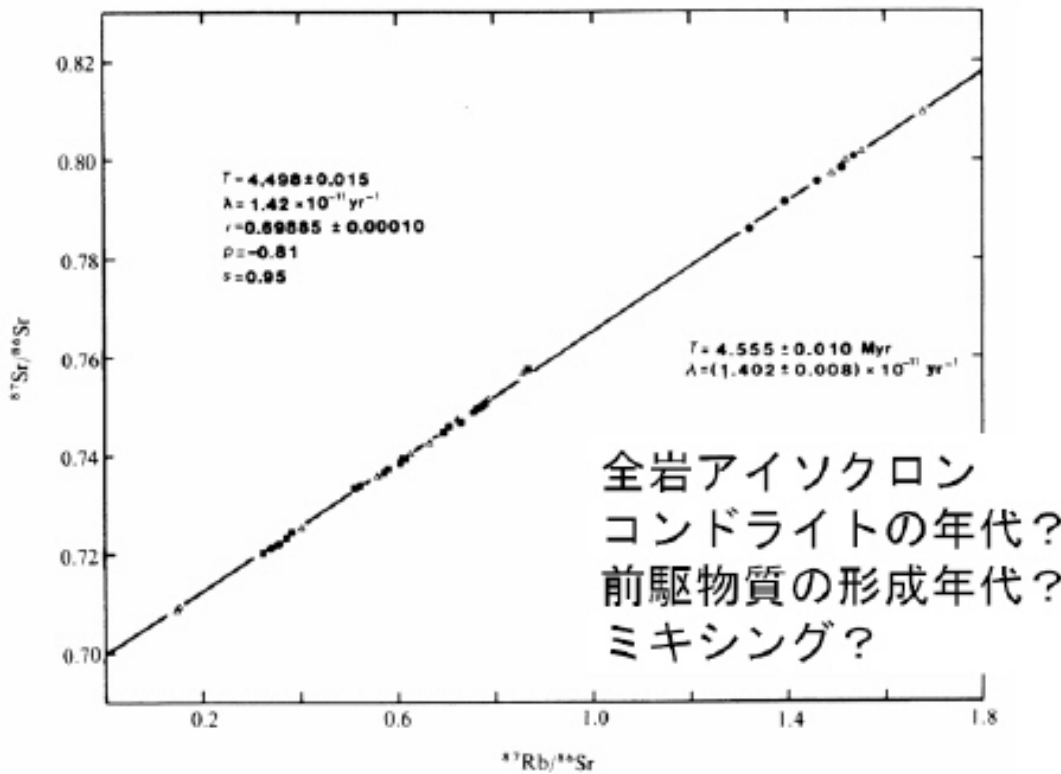


Chondriteの反射電子像



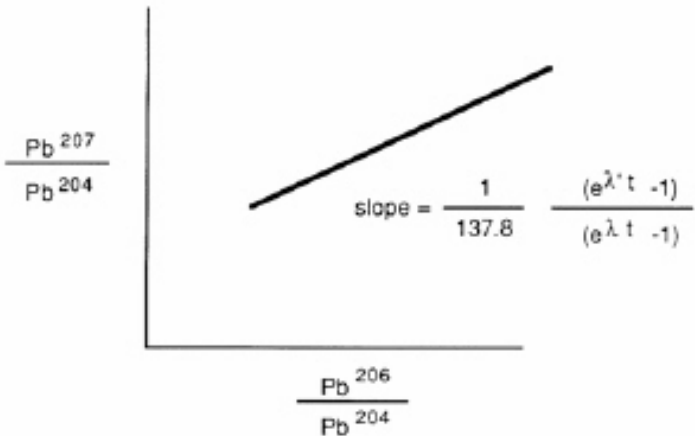
Rb-Sr isochron for chondrites

(■: H, △: LL, ●: E; Minster et al., 1982)

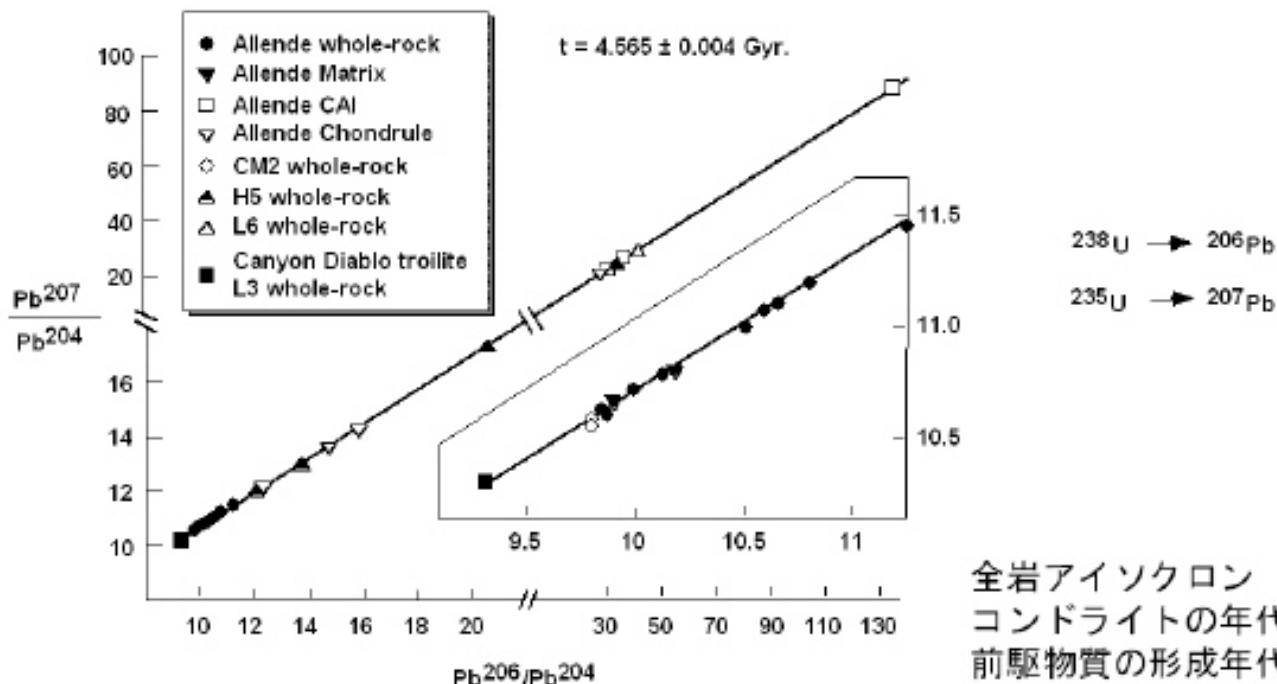


Pb-Pb isochron

$$\frac{\frac{^{207}Pb}{^{204}Pb}^* - \left(\frac{^{207}Pb}{^{204}Pb}\right)_0}{\frac{^{206}Pb}{^{204}Pb}^* - \left(\frac{^{206}Pb}{^{204}Pb}\right)_0} = \left(\frac{^{235}U}{^{238}U}\right)_t \frac{(e^{\lambda t} - 1)}{(e^{\lambda} - 1)}$$



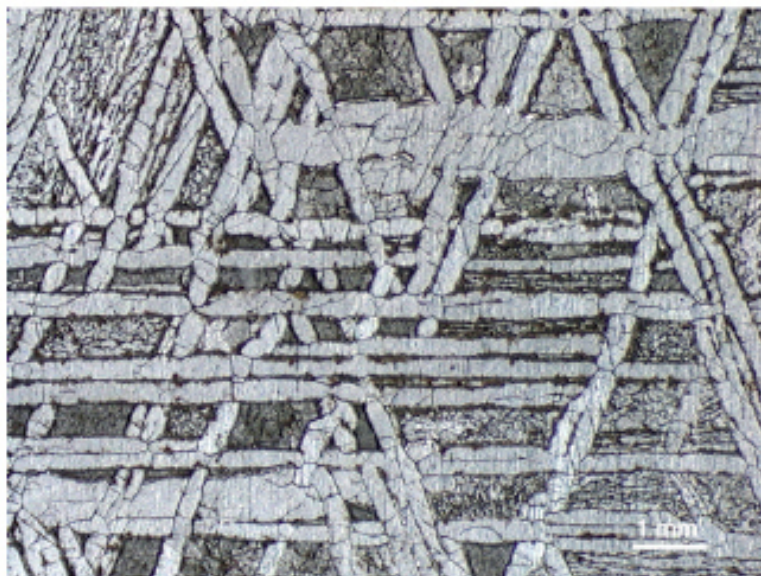
Pb-Pb isochron for chondrites & Pb-model age



全岩アイソクロン
コンドライトの年代?
前駆物質の形成年代?
ミキシング?

(after Chen and Tilton, 1976)

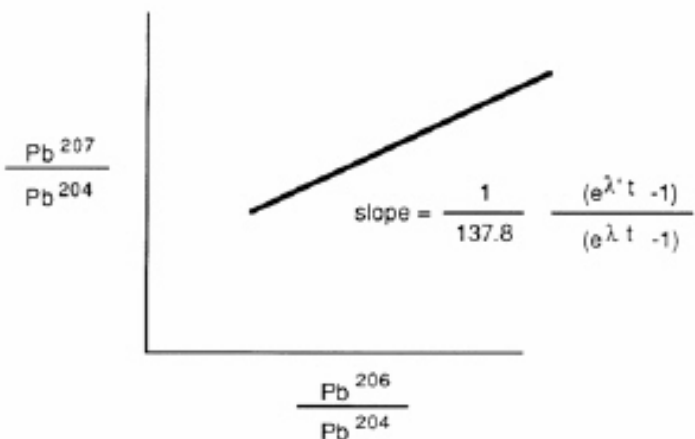
Irons



Gibeon (IVA)

Pb-Pb isochron

$$\frac{\frac{^{207}Pb}{^{204}Pb}^* - \left(\frac{^{207}Pb}{^{204}Pb}\right)_0}{\frac{^{206}Pb}{^{204}Pb}^* - \left(\frac{^{206}Pb}{^{204}Pb}\right)_0} = \left(\frac{^{235}U}{^{238}U}\right)_t \frac{(e^{\lambda t} - 1)}{(e^{\lambda} - 1)}$$

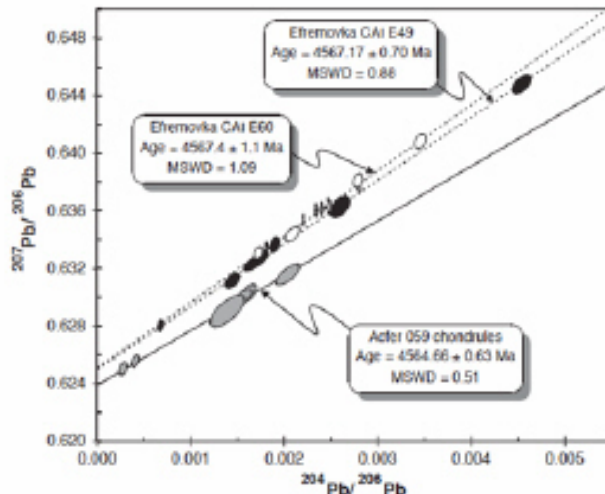


Pb-Pb isochron

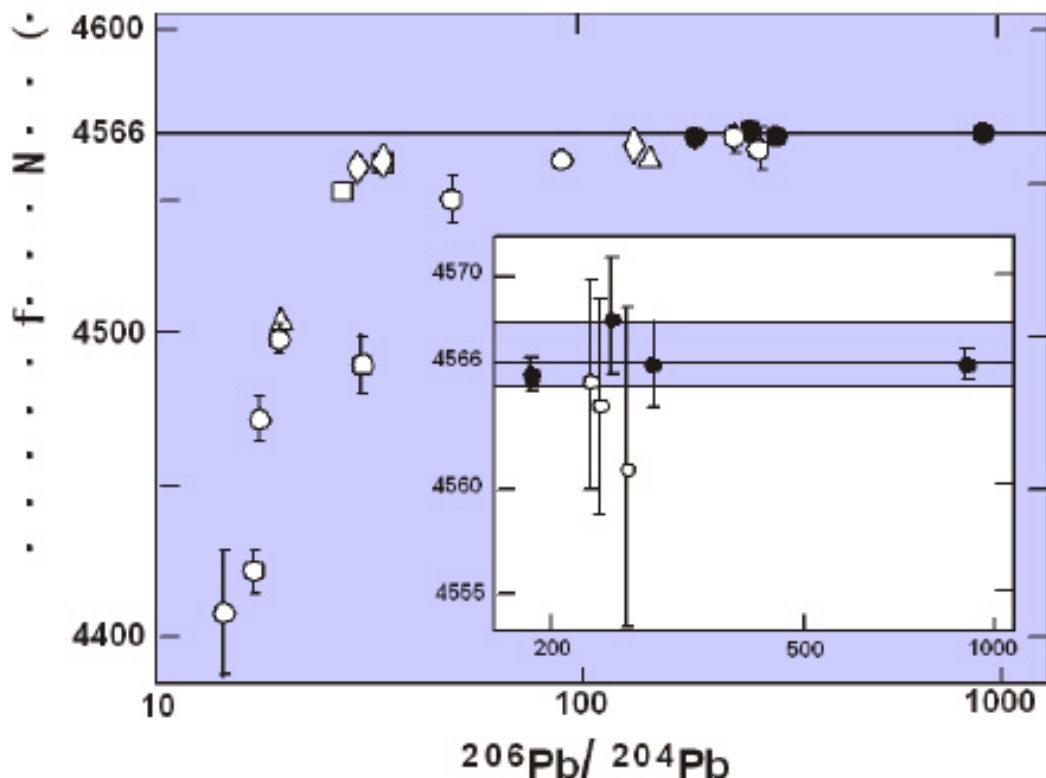
$$\frac{^{207}\text{Pb}^*}{^{206}\text{Pb}^*} = \frac{\left(\frac{^{207}\text{Pb}}{^{204}\text{Pb}}\right)_t - \left(\frac{^{207}\text{Pb}}{^{204}\text{Pb}}\right)_0}{\left(\frac{^{206}\text{Pb}}{^{204}\text{Pb}}\right)_t - \left(\frac{^{206}\text{Pb}}{^{204}\text{Pb}}\right)_0} = \left(\frac{^{235}\text{U}}{^{238}\text{U}}\right)_t \frac{(e^{A_t} - 1)}{(e^{A_0} - 1)}$$

$$\frac{^{207}\text{Pb}}{^{206}\text{Pb}} = \left(\frac{^{207}\text{Pb}^*}{^{206}\text{Pb}^*} \right) + \left(\frac{^{204}\text{Pb}}{^{206}\text{Pb}} \right) \left[\left(\frac{^{207}\text{Pb}}{^{204}\text{Pb}} \right)_0 - \left(\frac{^{207}\text{Pb}^*}{^{206}\text{Pb}^*} \right) \left(\frac{^{206}\text{Pb}}{^{204}\text{Pb}} \right)_0 \right]$$

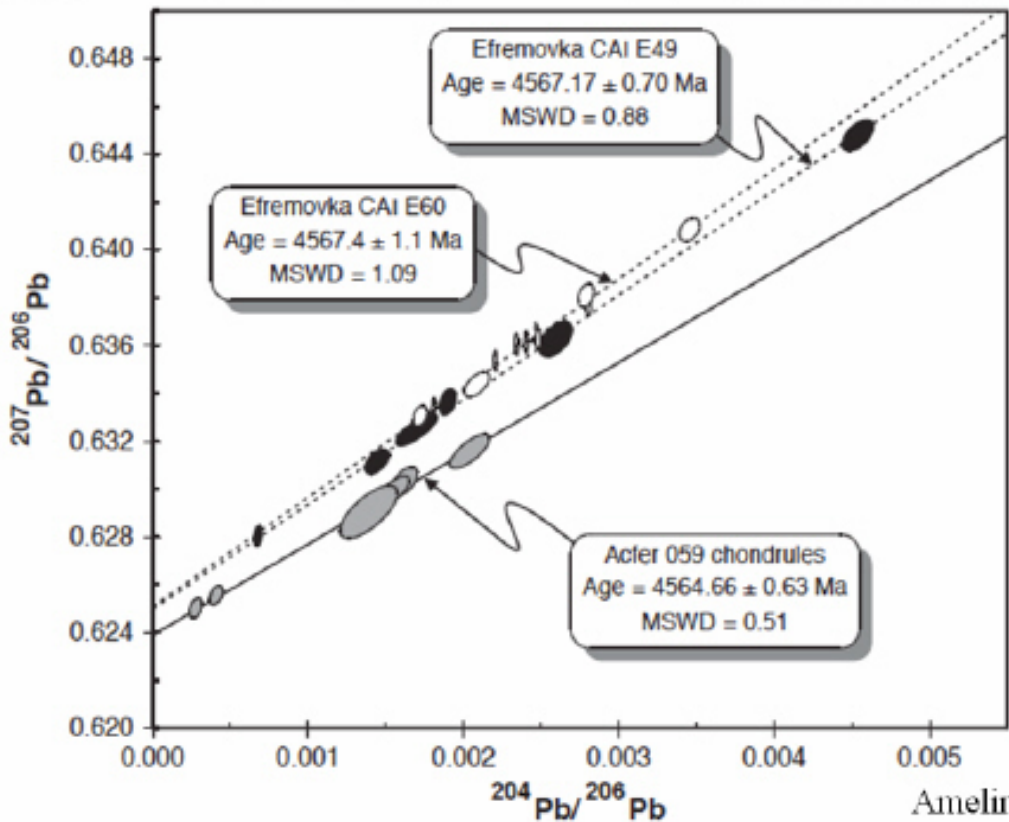
U : 難揮発性
Pb : 挥発性



CAIの形成年代



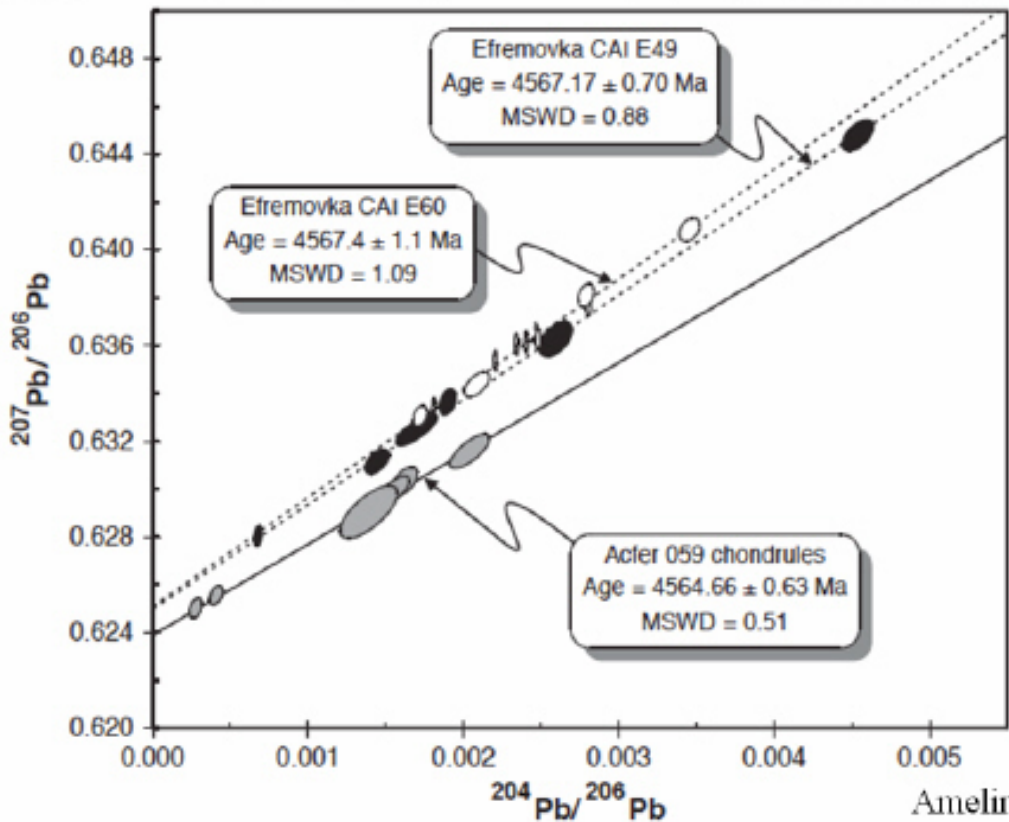
CAI, コンドリュールの形成年代



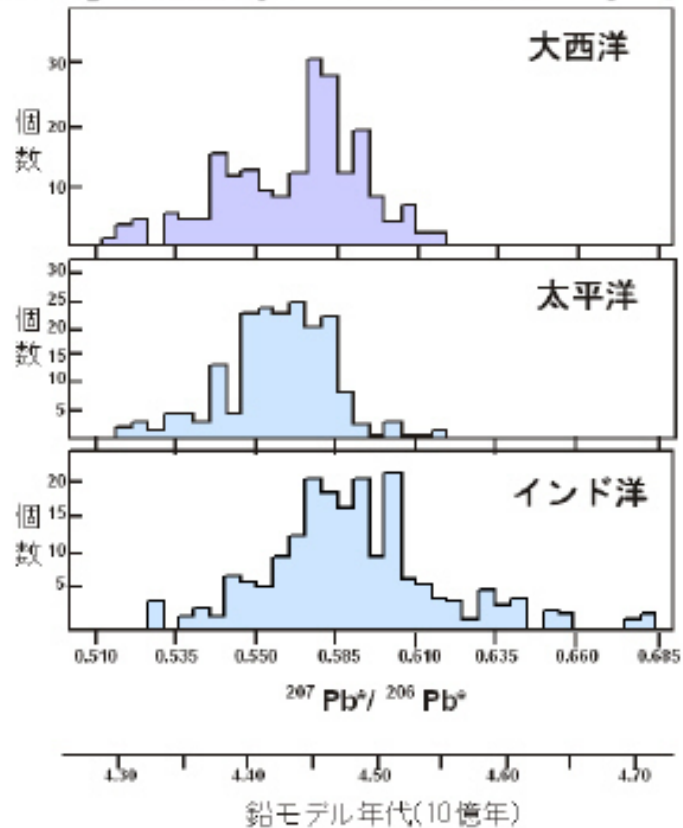
CAI, コンドリュールの形成年代

	隕石	Pb-Pb年代 (Ma)	年代差 (Ma)	Ref.
CAI (2)	Efremovka CV3	4567.2 ± 0. 6	0	Amelin et al. (2002)
Chondrules	Allende CV3	4566.7 ± 1. 0	0.5	Amelin et al. (2004)
Chondrules (6)	Acfer 059 CR2	4564.7 ± 0. 6	2.5	Amelin et al. (2002)
Chondrules (3)	Gujba CB	4562.7 ± 0. 5	4.5	Krot et al. (2005)
Chondrules	HH 237 CB	4562.8 ± 0. 9	4.4	Krot et al. (2005)

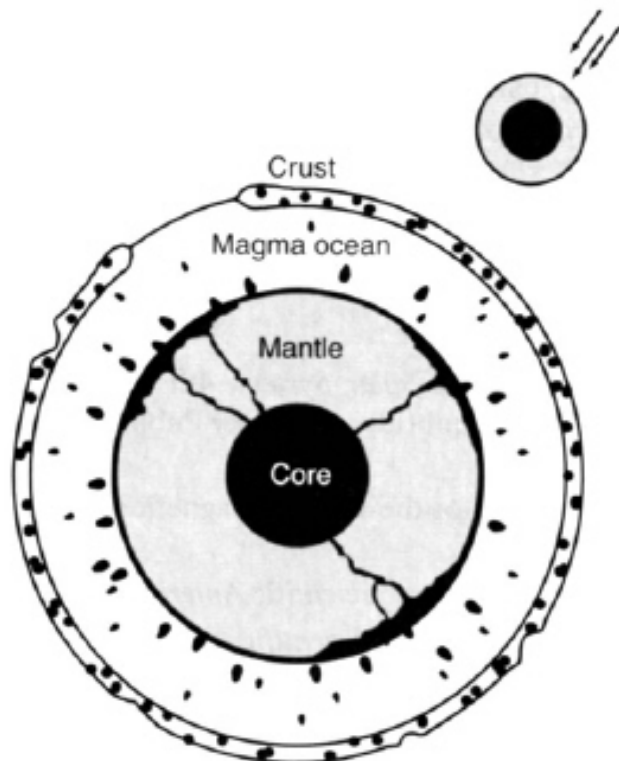
CAI, コンドリュールの形成年代



地球の鉛モデル年代

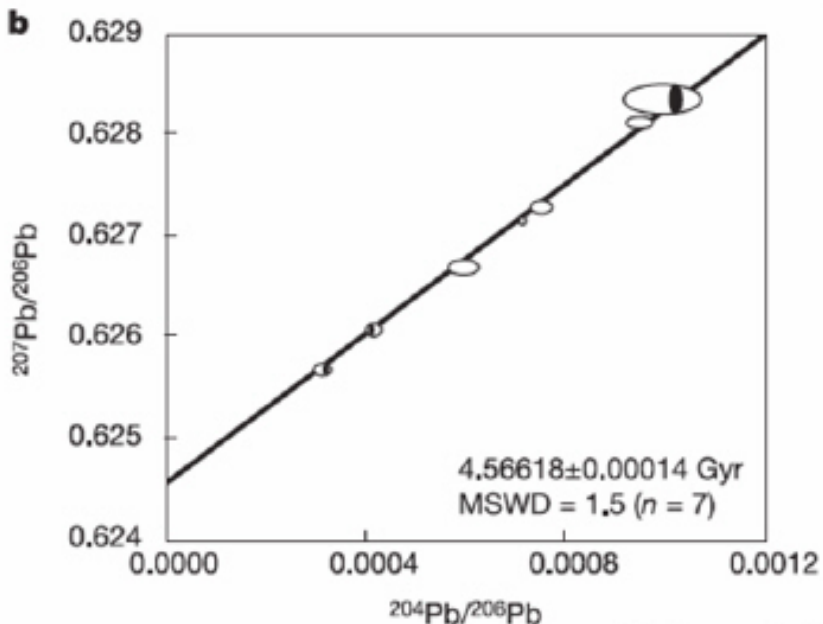


分化した隕石の母天体



Wood (2000)

Achondrite (angrite)の鉛年代



Baker et al. (2005)

微惑星の变成年代

(after Göpel et al., 1994)

Phosphates from ordinary chondrites

Guareña	H6	746	± 11	4,5044	± 0,0005
Kernouvé	H6	1779	± 32	4,5211	± 0,0005
Allegan	H5	160	± 5	4,5502	± 0,0007
Richardton	H5	443	± 18	4,5514	± 0,0006
Nadiabondi	H5	109	± 29	4,5556	± 0,0034
Ste. Marguerite	H4	2960	± 228	4,5627	± 0,0006
Forest Vale	H4	364	± 1	4,5609	± 0,0007
Marion (Iowa)	L6	977	± 24	4,5107	± 0,0005
Barwell	L5-6	3468	± 753	4,5382	± 0,0007
Ausson	L5	557	± 10	4,5268	± 0,0009
Knyahinya	L5	266	± 61	4,5395	± 0,0010
Homestead	L5	1517	± 114	4,5142	± 0,0006
St.Séverin	LL6	270	± 5	4,5536	± 0,0007
Guidder	LL5	1445	± 182	4,5353	± 0,0006
Tuxtuac	LL5	514	± 38	4,5436	± 0,0021

Petrologic Types

Thermal Metamorphism

3

4

5

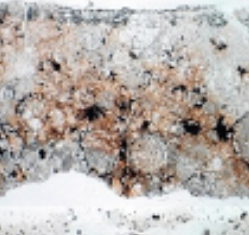
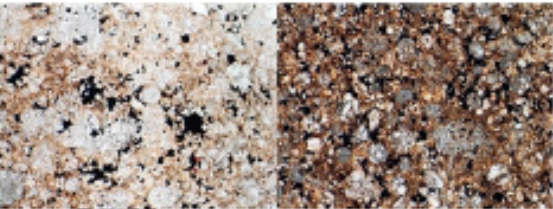
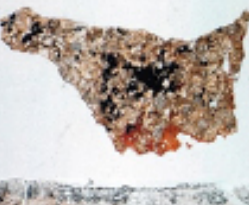
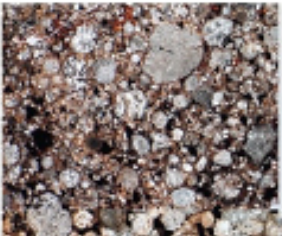
6

H

L

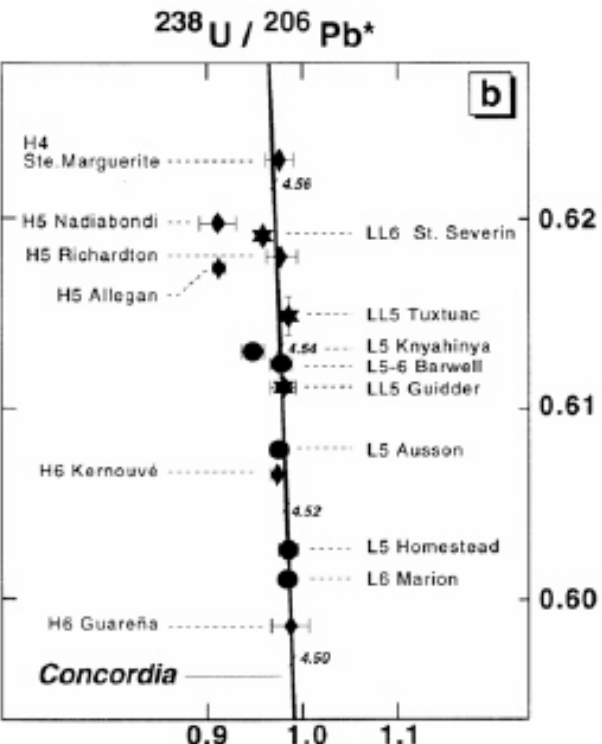
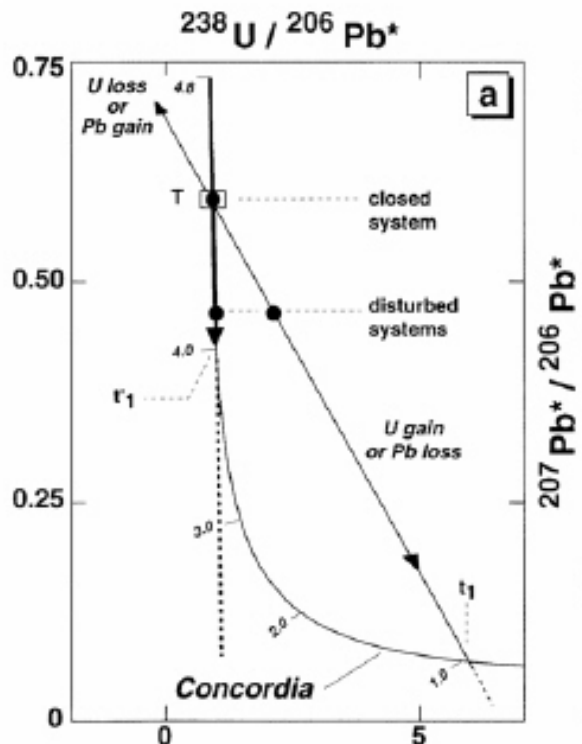
LL

E



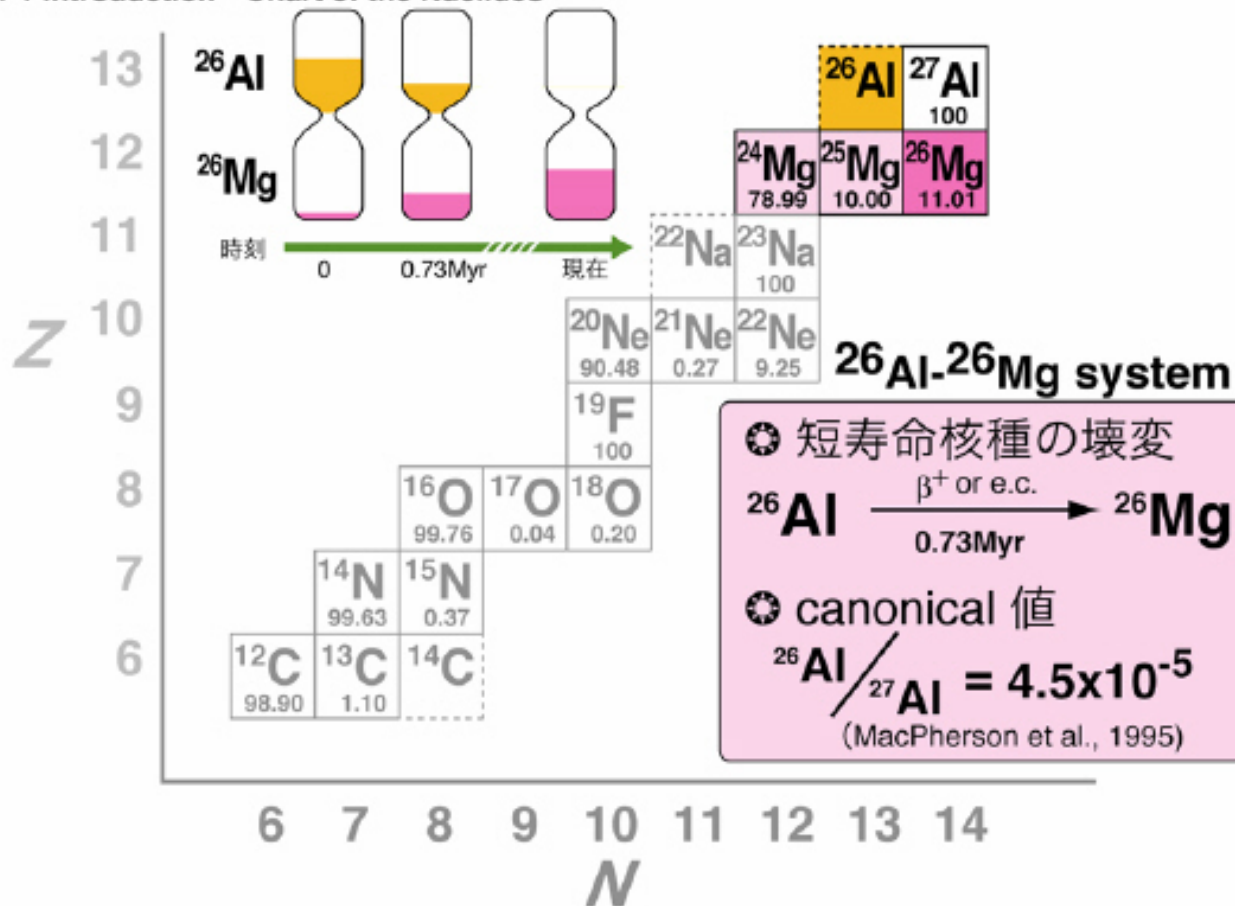
微惑星の变成年代

(after Göpel et al., 1994)



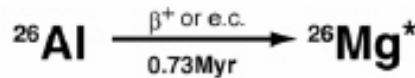
マグネシウム同位体

Chapter 1 Introduction Chart of the Nuclides

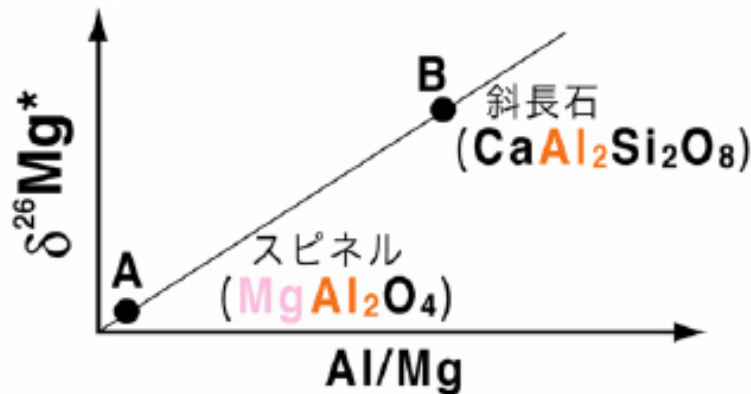


アイソクロン(同時に結晶化した鉱物に対して)

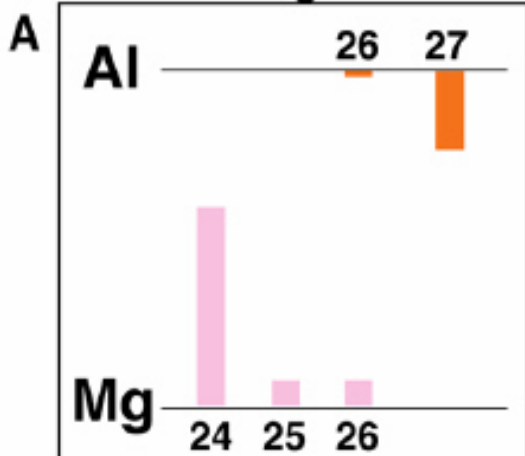
Chapter 1 Introduction



同じ時刻に結晶化したとき



Low-Al/Mg mineral



High-Al/Mg mineral

